

Hydrological investigations of some soils adjacent to the southern of Al-Najaf sea – Iraq

Ali Hussein Ibrahim Al-Bayati

Collage of Agriculture-Anbar University

Albayati1961@yahoo.Com

Mustafa Kalid Al-Ani

Ministry of Water Resources - National Water Resources Center

Abstract The study area was selected in the Najaf Governorate. It's adjacent to the southern part of Al- Najaf Sea and its area (17150.5 ha), located between the longitudes 425594E and 445138E and between the Latitudes 3521842N and 3538169N (UTM), it's covered all the soil types and geomorphological units which located within the sedimentary environment of Al- Najaf Sea.. The grade method was used to obtain hydrological measurements through 94 auger holes, which were located in a library with a 1000 m interval between a hole and another, and geographically using a GPS device. Some hydrological investigations were carried out to soil in the study area,

including permeability of the soil, depth of the ground water, calculation of the distances between the field drainage, and the water infiltration rate in the soil.

The results of field measurements of soil permeability ranged from 0.65 to 4.60 m. Day⁻¹, were classified between Class III and Class VI (Medium Slow and Fast), with clear dominance of Class IV and V (Medium and Medium Fast) which reached 91.5% of the examination sites. The depth of the ground water in the region ranged from 1.08 to 2.24 m. According to the cartographic analysis of the map of this hydrological index, the dominance depth was (1.50-1.75m) with percentage 34.81%. While the depth (1.75-2.00 m) showed the lowest percentage reached 9.20%. The calculations of distances between the deranges based on the hydrological characteristics ranged between (47 - 140 m) with a clear effect of the physiological unit in the values of this indicator, noting the need to take them into account when designing the drainage system network in the future. In reference to the recommendations of the National Center for Water Resources Management for the distances between the drainages, the cartographic analysis of the shape of this parameter showed that the class of B (75 m) was the dominance with percentage 60.14%, while class A (100 m) recorded the lowest percentage of 7.86% The water infiltration rate according to sub great group which classified in the region was ranged from 0.18 to 8.50 cm.h⁻¹, which classified between slow to moderately m velocity, and the heterogeneity recorded in the values of this characteristic was due mainly to the texture class of the surface layer.

التحريات الهيدرولوجية لبعض الترب المحاذية لجنوب بحر النجف-العراق

مصطفى خالد العاني

وزارة الموارد المائية-المركز الوطني للموارد المائية

علي حسين ابراهيم البياتي

كلية الزراعة- جامعة الانبار

Albayati1961@yahoo.Com

الخلاصة

تم اختيار منطقة الدراسة في محافظة النجف الاشرف وبشكل محاذٍ للجزء الجنوبي من بحر النجف وبمساحة(17150.5 هكتار) والواقعة بين خطى الطول 425594E و 445138E و دائرتى العرض 3521842N و 3538169N (UTM) بحيث تغطي أنواع الترب ووحداتها المجموع فولوجية المتواجدة ضمن البيئة الترسيبية لبحر النجف. استخدمت طريقة التثبيك للحصول على القياسات الهيدرولوجية من خلال 94 حفرة متقابليه تم تحديد مواقعها مكتبيا وبفاصله 1000م بين حفرة واخرى وجغرافيا باستعمال جهاز GPS. اجريت بعض التحريات الهيدرولوجية للترب منطقة الدراسة والمتضمنة نفاذية التربة وعمق الماء الارضي وحساب المسافات بين المبازل الحقلية اضافة الى سرعة غيض الماء في التربة. اظهرت نتائج القياسات الحقلية لنفاذية التربة قد تراوحت كمعدل بين 0.65 الى 4.60 م يوم⁻¹، وتصنيفيًّا قد كانت بين الصنف الثالث والصنف السادس (متوسطة البطئ والسريعة)، مع وجود سيادة واضحة للصنف الرابع والخامس (المتوسطة والمتوسطة السريعة) وبنسبة شكلت (91.5%) من موقع الفحص. تراوح عمق الماء الارضي في المنطقة بين 1.08م الى 2.24م وحسب التحليل الكارتوغرافي للخريطة الخاصة بهذا المؤشر الهيدرولوجي اتضحت بان السيادة كانت للعمق (1.50-1.75)م وبنسبة 34.81%， بينما سجل العمق (2.00- 2.25)م اقل نسبة بلغت 9.20%. اما حسابات المسافات بين المبازل استناداً الى الصفات الهيدرولوجية قد تراوحت بين (47-140)م مع وجود تأثير واضح للوحدة الفيزيوغرافية في قيم هذا المؤشر مشيرة الى ضرورة اخذها بنظر الاعتبار عند تصميم شبكات المبازل بالمنطقة مستقبلاً، وعند الرجوع الى توصيات المركز الوطني لإدارة الموارد المائية والخاصة بأصناف المسافات بين المبازل اظهر تحليل الكارتوغرافي للشكل الخاص بهذه الصفة وجود سادة للصنف B (75m) وبنسبة 60.14%， بينما سجل الصنف A (100m) اقل نسبة سجلت 7.86%. ان سرعة غيض الماء وحسب المجاميع تحت العظمى المصنفة في المنطقة قد تراوحت بين 0.18 الى 8.50 سم.ساعة⁻¹، وتصنيفيًّا كانت بين البطيئة السرعة الى المتوسطة السريعة وان التغير المسجل في قيم هذه الصفة تعود بالأساس صنف نسجة الطبقة السطحية.

المقدمة

يشكل منخفض بحر النجف مظهراً طوبوغرافياً متداً إلى جوار نهر الفرات لا تفصله عنه إلا خمسة عشر كيلومتراً وهو متباعدة الاتساع، يبلغ عرضه 16كم كمعدل عند جنوب الشرقي، غير انه يتقلص عند الوسط إلى 10كم، قاطعاً 40 كم من شمال غرب النجف إلى جنوب غربي مدينة الحيرة على الجانب الأيمن من الطريق الذي يربط بين المدينتين، في حين يحده من الشرق طريق النجف المشخاب، ومن الغرب الخط الاستراتيجي- الناقل للنفط الخام من الجنوب إلى الشمال الغربي، أما موقعه الفلكي فانه يقع بين دائري عرض طول "00' 06" - 44° 29" شمالي وبين خطى "39° 45' 00"- 32° 04' 00" شرفاً. مساحة المنخفض تبلغ 435.8 كم²(المظفر،2017). ان حركة الماء خلال التربة الى منطقة المنظومة الجذرية اضافة الى حركتها باتجاه المبازل والت弟兄 من سطح التربة(نفاذية التربة) تعد من العوامل المؤثرة في معدل جريان الماء في جسم التربة، وقد عرفت هذه الصفة(نفاذية التربة) من قبل Bertrand (1965)"بانها قابلية امرار او نفوذ المواقع خلال التربة" ، وكذلك عرفت بانها حجم معين من الماء خلال مساحة من التربة خلال زمن معين تحت قوى الجذب الارضي والضغط الهيكلي والازموزي.

اوضح Bittelli *et al.* (2015) بان نفاذية التربة تتأثر بالعديد من صفات التربة والمتضمنة (صنف النسجة وبناء التربة وكمية الجنور في التربة اضافة الى محتوى التربة من الجبس وعمق الطبقة الصماء في التربة)، وبصورة عامة فان الترب تمتلك نفاذية مختلفة الدرجات تتراوح بين اقل من 0.03 م.ساعة⁻¹ في الترب الطينية والترب المعرضة للانضغاط الى اكتر من 10 م.ساعة⁻¹ في الترب الحصوية. لذا فان نفاذية التربة تتأثر بدرجة رئيسية بصفات التربة الفيزيائية.

وجد Aziz *et al* (1994) عند دراستهم لتراب الجهة الشرقية من شط العرب بان نفاذية التربة للأعماق الثلاثة (K3,K2,K1) قد كانت جيدة، اذ زادت اصناف نفاذية التربة السريعة والسريعة جداً عن 50% من مجموع المواقع البالغة 198 حفرة مثقبية. وكانت السيادة للمسافات بين المبازل الحقلية للصنف B (75 م). اما سرعة غيض الماء الاساس فقد كانت السيادة للأصناف بين الطينية ومتسططة البطن بسبب محدد الملوحة العالية وانضغاط سطح التربة وعدم استغلالها زراعياً لفترة طويلة من الزمن.

درس Deck (2010) تأثير الاستغلال الزراعي في بعض المؤشرات الهيدرولوجية في موقعين في نبراسكا- الولايات المتحدة الاميريكية.

اذ لاحظ بان سرعة الغيض قد تراوحت في الترب غير المستغلة زراعياً بين 1.03 الى 3.89 سم.ساعة⁻¹، مقارنة بالمواقع المستغلة التي اظهرت فيما لهذه الصفة تراوحت بين 0.88 الى 6.18 سم.ساعة⁻¹، وقد اظهرت المواقع الاخيرة 22.4% زيادة في كمية الجريان السطحي مقارنة بغير المستغلة زراعياً، مما يشير الى تأثير طبيعة استغلال الارض في صفاتها الهيدرولوجية.

لاحظ Elias and Aziz (2011) عند دراستهما معدل سرعة الغيض في ترب مشروع الغضاري - محافظة الانبار بأنها تراوحت بين 5.4 الى 7.5 سم.ساعة⁻¹ وبعد عام بلغ 6.5 سم.ساعة⁻¹ ، مما يشير بانها ضمن صنف المتوسطة السرعة وان مثل هذه الترب تصلح لاستخدام طرائق الري الحديثة كالري بالرش والتقطيف وضرورة استبعاد طرائق الري التقليدية وذلك لارتفاع محتوى التربة من الجبس او كarbonات الكالسيوم بالإضافة الى قلة عمق التربة، وان استخدام طرائق الري التقليدية يؤدي الى ذوبان الجبس وحدوث الخسفات في التربة بسبب سرعة غيض الماء.

لاحظ Zedan and Majeed (2011) عند دراستهما للصفات الهيدرولوجية لتراب مشروع الخلود في محافظة ميسان من خلال نتائج فحص 11 موقع، ان معدل الغيض الاساس قد تراوح بين 6.80-0.08 سم.ساعة⁻¹، اي بين الصنف البطيء جداً الى متسططة السرعة، مع سيادة الصنف المتسططة البطيئة، وعزوا سبب ذلك الى صنف نسجة التربة السطحية ووجود القشرة والتي تعد شبيهة بالتركيب الصفائحي، وان قيم نفاذية التربة (K) قد تراوحت بين 0.28 الى 4.37 م.يوم⁻¹(متسططة البطيء الى السريعة) وان معظم المواقع كانت ضمن الصنف متسططة السريعة والمتسططة. وان وجود الجبس ضمن المتر الاول في موقع الدراسة قد كان العامل المحدد لحركة الماء الاقفية الى حد كبير.

اشار Jafar (2013) عند دراسته لمشروع شط العرب وغرب القرنة والبالغ مساحته 8200 هكتار، بان قيم نفاذية التربة (K3,K2,K1) قد تراوحت بين (0.3- 1.3 و-0.4 و-1.76 و-0.4 و-1.96 م.يوم⁻¹) على الترتيب، وان عمق الماء الارضي قد تراوح بين 1.0 الى 5.0 > م، اثرت هذه المؤشرات في حساب المسافات بين المبازل، اذ شكلت النسب التالية:

(A) على الترتيب. بينما كان معدل الغيض الاساس ضمن المدى 0.4 الى 1.3 سم.ساعة⁻¹.

وجد Katie and Majid (2013) بان عمق الماء الارضي في مزرعة ذك (العتبة العلوية المقدسة) النجف الاشرف، تراوح بين 1.2 الى

طريقة العمل والمواد

تم اختيار منطقة الدراسة بمساحة 17150.5 هكتار وواقعة بين خطى الطول 425594E و 445138E و دائرتى العرض N 3521842N و UTM(UTM)3538169N، بحيث تغطي أنواع التربة ووحداتها الجيولوجية المتواجدة ضمن البيئة الترسيبية لبحر النجف وبشكل مجازي للجزء الجنوبي من بحر النجف، يحدها من الشمال بحر النجف ومن الغرب طريق الخط الاستراتيجي ومن الشرق طريق النجف- ابوصخير ومن الجنوب طريق الكوفة- معمل اسمنت الكوفة. استخدمت طريقة التшибيلك للنمذجة من خلال 94 حفرة متقابليه تم تحديد مواقعها مكتبيا وبفاصله 1000م بين حفرة واخرى وجغرافيا باستعمال جهاز GPS (نوع GPS map 60 CSX) Garmin الشكل (1).

قيس نفاذية ترب منطقه الدراسة بطريقة الحفر الاسطوانية Auger Hole Method ولثلاثة اعمق K1,K2,K3 وحسب الطريقة المقترنة من قبل Van beer (1970) اذ ان:

- K1 = نفاذية التربة للعمق الاول (عمق الماء الارضي 0-2.0 م من سطح التربة).
- K2 = نفاذية التربة للعمق الثاني 3.5-2.0 م من سطح التربة.
- K3 = نفاذية التربة للعمق الثالث (5.0-3.5 م من سطح التربة). تم استخدام تصنيف نفاذية التربة المعتمدة من قبل قسم تحريرات التربة/مركز بحوث الموارد المائية والتربة لتصنيف قيم نفاذية التربة الحقلية للمنطقة (S.O.L.R., 1982).

وكما موضح في الجدول (1).

جدول 1. تصنيف نفاذية التربة اعتمادا على قيم K

Soil permeability class	K value $m \cdot day^{-1}$
Very slow (VS)	< 0.05
Slow (S)	0.05 – 0.15
Moderately slow (MS)	0.15 – 0.50
Moderate (m)	0.50-1.50
Moderately rapid (MR)	1.50-3.00
Rapid (R)	3.00-6.00
Very rapid (VR)	> 6.00

تم قياس عمق الماء الارضي عند كل موقع فحص، وانجاز خريطة لعمق الماء الارضي لمنطقة الدراسة وبنطاق رسم 1:50000.

استخدمت نتائج قيم نفاذية التربة اساسا في حساب المسافات بين المبازل الحقلية، اذ ان قابلية التربة

<4.0 م، وان معدل قيم النفاذية تراوحت بين 2.0 الى 6.6 م يوم⁻¹، واصنافها كانت بين متوسطة السرعة والسرعة جداً. اما نتائج تجارب سرعة غيض الماء في التربة فقد اظهرت بان معدل الغيض الاساس كانت بين 4.0 الى 7.2 سم/ساعة⁻¹، وصنفت ضمن الاصناف المتوسطة والمتوسطة السريعة، ويعزى سبب ذلك الى ارتفاع محتوى ترب المنطقة من الجبس.

اشار Thabit et al. (2013) عند دراستهم للخصائص الهيدرولوجية لمنطقة غرب بحر النجف بان عمق الماء الارضي قد تراوح بين 4.5-4.0 م، وان قيم النفاذية (K3,K2,K1) تراوحت بين 1.46-0.34 و 3.32-2.01 و 6.98-8.73 م يوم⁻¹ على الترتيب.

لاحظ Majid and Falah (2014) عند دراستهم نفاذية التربة وحساب المسافات بين المبازل الحقلية لمشروع ايمن ذئاب الكمالية/ ربي الحسينية- محافظة كربلاء المقدسة، من خلال دراسة 112 موقع فحص، بان عمق الماء الارضي في المنطقة قد تراوح بين 0.88 الى 4.5 م، وان قيم النفاذية (K3,K2,K1) كانت بين 0.20 الى 7.53 م يوم⁻¹، وان اصناف النفاذية السائدة في منطقة الدراسة كانت بين المتوسطة الى المتوسطة السريعة، واظهرت حسابات ابعاد المسافات بين المبازل الحقلية بانها تقع ضمن ثلاثة اصناف (A,B,C) قد شكلت نسب بلغت 41.3% و 55.0% و 3.7% للأصناف الثلاث على الترتيب.

درس Khalaf and Hassan (2016) الخصائص الهيدرولوجية لتسعة مواقع ضمن هضبة كربلاء- النجف، وبمساحة 134.6 كم². اذ تراوحت قيم نفاذية التربة بين 0.44 الى 11.62 م يوم⁻¹، مع وجود طبقية وتغاير عمودي في صنف نسجة التربة، والتي اثرت على قيم المؤشر المقاييس.

لاحظ Naser (2016) عند دراسته لترب مشروع شنايفي- ناصرية في محافظة الناصرية ، سيادة صنف النفاذية المتوسطة السرعة بنسبة 58.5% من موقع الفحص البالغة 227 موقع، بينما لم تتجاوز نسبة 1% الاصناف البطيئة والبطيئة جداً، وان معدل النفاذية لترب المشروع كانت بين 0.04 الى 3.70 م يوم⁻¹، وان عمق الماء الارضي في المشروع قد تراوح بين 0.6 الى اكثر من 5.0م، انعكس ذلك بشكل واضح في حساب المسافات ما بين المبازل، اذ تراوحت بين 36 الى 145م.

لذا تهدف هذه الدراسة الى تحديد بعض الصفات الهيدرولوجية لمنطقة جنوب بحر النجف وحساب المسافات بين المبازل الحقلية عند اجراء عمليات الاستصلاح لأراضي المنطقة مستقبلاً.

2. في حالة كون قيمة النهاية K2 و K3 مختلفة تحت المبرز الحقلي، يتم حساب مؤشرات المعادلة (1) كما يلى:

K2 = نفاذية التربة للعمق الثاني 3.5م تحت المبزل الحقلي م. يوم ١- .
a = معامل يستخرج من خطوط بيانية للحركة الشعاعية للماء بدلالة D3/D2 و K3/K2 .

$$D = CT^m \dots \dots \dots (5)$$

و منها تم استخراج المؤشرات التالية لغرض الماء :

$$I_{av.} = CT^{m-1} \dots \dots \dots (6)$$

٢- معدل غيض الماء الآني (Iins.) rate

$$\text{Ins.} = m \text{ CT}^{m-1} \dots \dots \dots (7)$$

3- معدل سرعة غيض الماء الاساس Basic infiltration rate (Ibas.)

$$t = 10(1-m) \dots \dots \dots (8)$$

رسمت العلاقات اعلاه لغرض الماء انفة الذكر في ورق لوغارتمي ، وتم تصنيف سرعة غيض الماء الاساس استناداً الى المعايير الواردة في SOLR، 1982) (الجدول، 2). حللت النتائج احصائياً وفق تصميم القطاعات العشوائية التامة (CRBD)

جدول 2. تصنيف معدل الغيض الاساس basic infiltration rate

Basic infiltration rate (cm/hour)	Infiltration rate class	Class symbol
Less than 0.1	Very slow	1
0.1 – 0.5	Slow	2
0.5 – 2.0	Moderately slow	3
2.0 – 6.25	Moderate	4
6.25 – 12.75	Moderately rapid	5
12.75 – 24.5	Rapid	6
More than 24.5	Very rapid	7

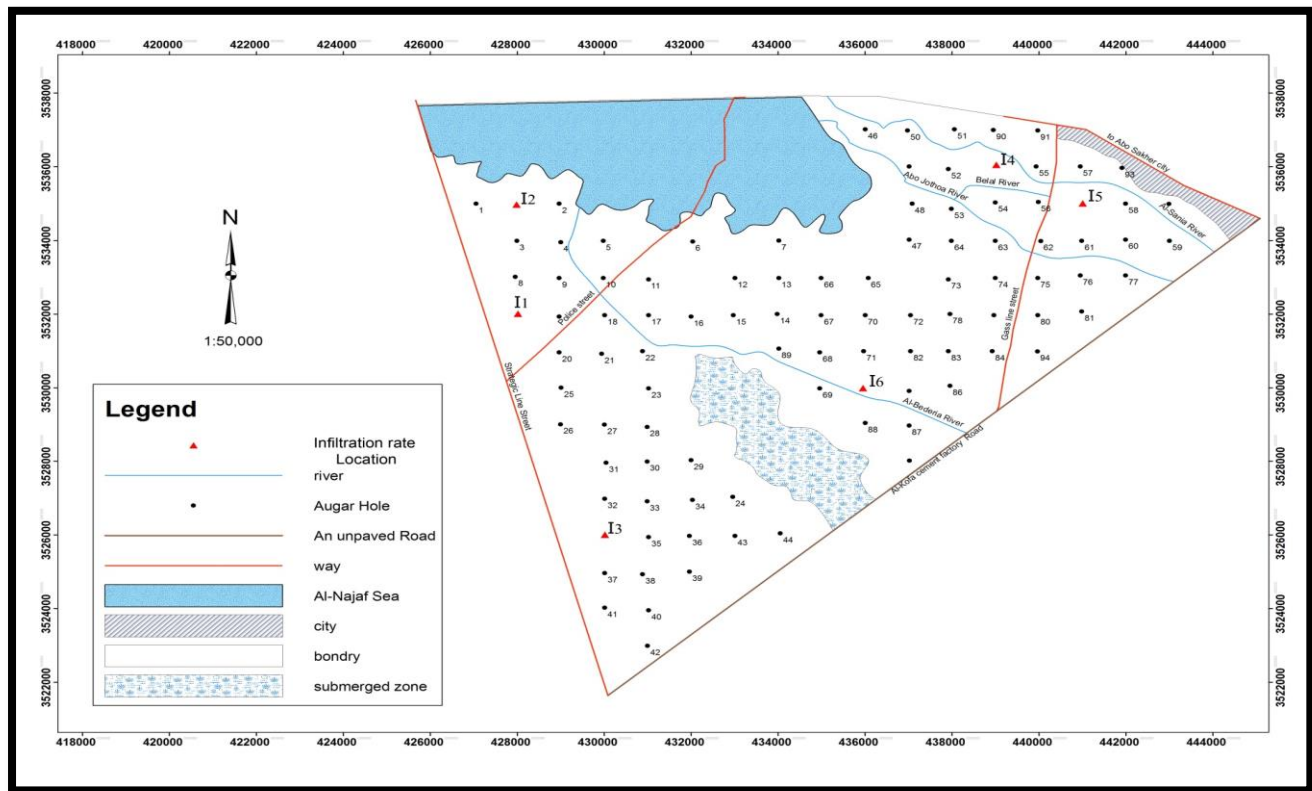
لكل موقع قياس، اذ يتضح من الجدول بان قيم القياسات الحقلية لنفاذية التربة قد تراوحت قيم K1 بين (0.30 الى 4.60 م يوم⁻¹)، وK2 (0.55 الى

النتائج والمناقشة
نفاذية التربية ١

توضّح نتائج جدول 3 القياسات الحقلية للفاذية التربة وأصنافها وموقعها وعمق الماء الأرضي

يلاحظ من الشكل 3 وجود فروق معنوية بين الوحدات الفيزوغرافية من حيث معدل نفاذية التربة للماء، اذ سجل اعلى معدل ضمن الوحدة الفيزوغرافية RL بلغت (2.04 م.يوم^{-1}) بينما سجلت اقل قيم لهذه الصفة عند الوحدتين الفيزوغرافية IL و SD بلغت كمعدل (1.455 م.يوم^{-1})، وان هذا التغير يعود بالأساس الى تغير اصناف النسجة اضافة الى الملوحة ومحنوى التربة من الجبس بتأثير الموقع الفيزوغرافي لموقع الفحص (Al-Harran, 1970).

اما من حيث تصنيف نفاذية التربة فقد اوضحت نتائج جدول 3 بان صنف نفاذية التربة وحسب تصنيف (S.O.L.R, 1982) لمنطقة الدراسة قد تراوحت بين الصنف الثالث والصنف السادس (متوسطة البطئ والسريعة) (الجدول، 1)، مع وجود سيادة واضحة بالنسبة الصنف الرابع والخامس (المتوسطة والمتوسطة السريعة) وبنسبة شكلت 91.5% من موقع الفحص، وهذا يتافق مع ما لاحظه Katie and Majid (2013) عند دراستهم للتراب الجبسي في مزرعة فدك(محافظة النجف الاشرف)، اذ وجدا سيادة للصنفين (المتوسطة والمتوسطة السريعة). ويتبين من الشكل 2 بان قيم معامل الاختلاف (C.V) لقيم نفاذية التربة K3,K2,K1 قد تراوحت بين (9.28 و 11.31) مما يشير الى وجود تغير قليل في قيم قياسات النفاذية للتربة بين موقع الفحص ضمن المنطقة.

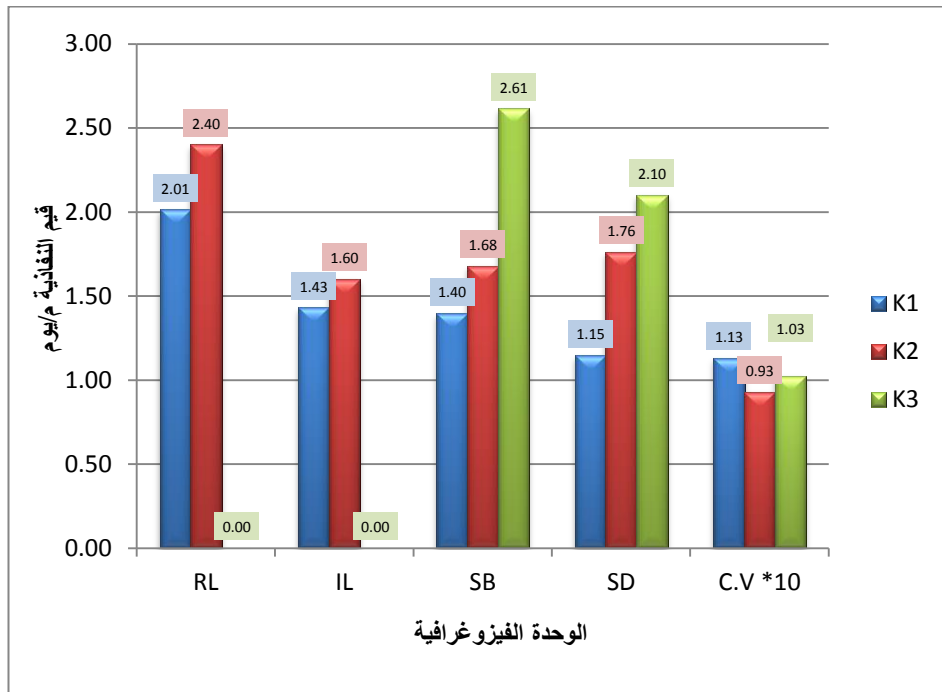


شكل 1 موقع الفحص المتقابلة وموقع قياس سرعة الغيض ضمن منطقة الدراسة.

الجدول (3) القياسات الحقلية لنقانة التربة للماء واصنافها وعمق الماء الارضي في موقع الفحص ضمن الوحدات الفيزوغرافية المشخصة في منطقة الدراسة.

Physio. unit Augar No.	K1 m.day ⁻¹	K2 m.day ⁻¹	K3 m.day ⁻¹	Average K m.day ⁻¹	Class* GW	Physio. unit Augar No.	K1 m.day ⁻¹	K2 m.day ⁻¹	K3 m.day ⁻¹	Average K m.day ⁻¹	Class* GW(m)				
Silted basin SB	37	1.40	L	L	1.40	4	2.08	Silted basin SD	71	0.65	S	S	0.65	4	1.49
	38	1.50	G	G	1.50	5	2.24		72	0.80	S	S	0.80	4	1.30
	39	2.20	G	G	2.20	5	2.18		73	0.92	1.20	1.76	1.29	4	1.39
	40	0.80	G	G	0.80	4	2.20		75	0.35	1.26	1.78	1.13	4	1.54
	41	1.10	G	G	1.10	4	2.10		76	0.80	1.05	1.74	1.20	4	1.67
	42	0.80	1.86	G	1.33	4	2.28		77	1.30	1.00	S	1.15	4	1.56
	50	0.90	1.47	S	1.19	4	1.77		78	0.40	1.11	1.71	1.07	4	1.62
	51	1.10	0.70	S	0.90	4	1.84		79	0.40	1.14	S	0.77	4	1.54
	90	1.65	S	S	1.65	5	2.10		80	0.40	0.95	1.39	0.91	4	1.47
	91	4.20	S	S	4.20	6	2.04		81	0.40	0.55	1.08	0.68	4	1.58
	92	4.20	3.40	S	3.80	6	1.97		82	0.40	0.55	S	0.48	3	1.45
	93	4.30	4.57	S	4.44	6	2.14		83	4.60	S	S	4.60	6	1.43
	26	1.05	L	L	1.05	4	1.86		84	0.40	2.45	S	1.43	4	1.52
	31	1.30	L	L	1.30	4	1.88		85	0.60	2.45	S	1.53	5	1.50
	32	1.40	1.6	G	1.50	5	1.78		86	1.50	2.55	S	2.03	5	1.66
	35	1.30	G	G	1.30	4	2.12		87	1.25	1.14	S	1.20	4	1.72
	36	2.10	G	G	2.10	5	1.90		88	1.70	1.52	2.46	1.89	5	1.55
	8	1.80	L	L	1.80	5	1.35		94	4.30	S	S	4.30	6	1.40
	9	1.12	L	L	1.12	4	1.44		1	1.38	L	L	1.38	4	1.12
	15	1.27	1.83	3.28	2.13	5	1.70		2	0.80	G	G	0.80	4	1.10
	16	0.87	1.93	2.84	1.88	5	1.55		3	1.03	1.80	G	1.42	4	1.44
	17	2.60	1.64	G	2.12	5	1.64		4	0.80	1.50	G	1.15	4	1.18
	19	1.50	2.08	G	1.79	5	1.64		5	1.03	L	L	1.03	4	1.40
	20	1.97	2.36	3.43	2.59	5	1.61		6	0.84	L	L	0.84	4	1.32
	21	1.30	G	G	1.30	4	1.59		7	1.85	3.30	S	2.58	5	1.22
	22	1.70	2.17	3.42	2.43	5	1.58		10	2.80	2.70	G	2.75	5	1.52
	23	4.60	2.26	4.15	3.67	6	1.48		11	2.90	2.60	G	2.75	5	1.63
	24	0.80	3.45	4.71	2.99	5	1.60		12	1.05	3.10	G	2.08	5	1.54
	25	1.45	3.23	5.16	3.28	6	1.52		13	1.50	G	G	1.50	5	1.42
	27	1.27	1.50	L	1.39	4	1.84		14	1.47	2.48	G	1.98	5	1.45
	28	2.70	1.71	2.89	2.43	5	1.77		18	1.10	2.15	3.09	2.11	5	1.51
	29	1.10	G	G	1.10	4	1.68		46	0.70	1.98	S	1.34	4	1.13
	30	2.80	L	L	2.80	5	1.70		47	2.60	1.45	S	2.03	5	1.08
	33	1.30	G	G	1.30	4	1.82		48	0.32	2.00	G	1.16	4	1.21
	34	0.70	G	G	0.70	4	1.64		49	0.32	1.65	2.69	1.55	5	1.27
	43	1.85	1.23	2.52	1.87	5	1.78		52	1.10	1.05	G	1.08	4	1.43
	44	1.40	1.70	1.73	1.61	5	1.58		53	0.65	G	G	0.65	4	1.50
	45	1.10	1.84	S	1.47	4	1.52		54	0.34	1.30	S	0.82	4	1.52
	55	1.40	0.95	1.75	1.37	4	1.50		56	1.24	1.09	S	1.17	4	1.46
	57	1.55	S	S	1.55	5	1.64		63	0.42	1.57	S	1.00	4	1.36
	58	1.10	1.90	S	1.50	5	1.52		64	1.20	G	G	1.20	4	1.29
	59	1.70	1.77	S	1.74	5	1.60		65	0.30	0.99	1.40	0.90	4	1.24
	60	2.10	1.98	3.14	2.41	5	1.59		66	0.90	0.87	1.55	1.11	4	1.15
	61	0.80	2.23	3.31	2.11	5	1.55		67	0.75	1.09	1.50	1.11	4	1.25
	62	0.55	G	G	0.55	4	1.55		70	1.20	0.99	1.76	1.32	4	1.34
	68	0.92	0.89	1.66	1.16	4	1.45		74	1.05	1.08	1.86	1.33	4	1.28
	69	0.50	1.17	1.60	1.09	4	1.52		89	1.62	2.02	2.96	2.20	5	1.21

* Soil infiltration class:(3)Moderately slow (4) Moderate (5)Moderately Rapid (6) Rapid



شكل 2. معدل قيم نفاذية التربة للماء لاعماق التربة الثلاث ضمن الوحدات الفيزيوغرافية المشخصة في منطقة الدراسة.

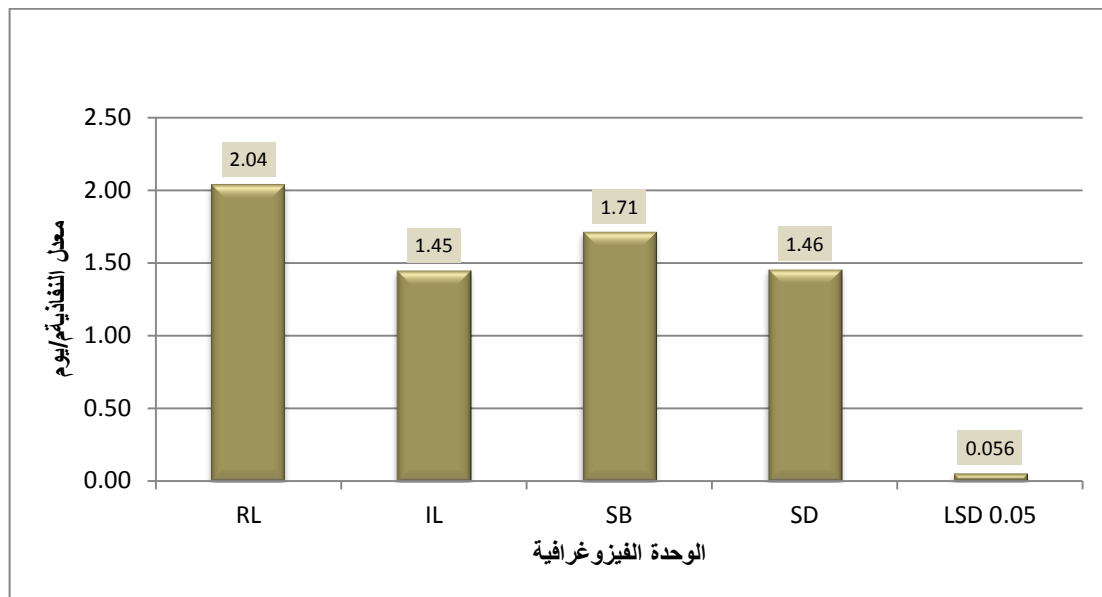
يتضح من نتائج الجدول (5) بان قيم المسافات ما بين المبازل قد تراوحت بين (47 الى 140م). اذ سجلت الوحدة الفيزيوغرافية RL بين (59-140م) وبمعدل 101م، اما الوحدة الفيزيوغرافية IL فقد تراوحت قيمها بين (91-116م) وبمعدل 104م، اما الوحدة الفيزيوغرافية SB فقد تراوحت قيمها بين (124-47م) وبمعدل 88م، في حين كانت المسافات ما بين المبازل المحسوبة عند الوحدة الفيزيوغرافية SD بين (63-119م) وبمعدل 85م. مما يظهر ضرورة اخذ الموقع الفيزيوغرافي بنظر الاعتبار عند تصميم شبكات المبازل بالمنطقة وتقليل المسافات بينها في الوحدتين الفيزيوغرافيتين SB و SD. وعند الرجوع الى توصيات المركز الوطني لإدارة الموارد المائية – قسم الدراسات البيئية (وزارة الموارد المائية) والخاصة بهذه الحسابات يتضح لدينا وجود الاصناف (C, A, B) وكما موضح في الشكل (6)، مع وجود سيادة للصنف B (75%) وبنسبة 60.14%، بينما سجل الصنف A (100m) وبنسبة 7.86% وكما موضح في الجدول (6)، ويعزى ذلك الى طبيعة المنظور الارضي للمنطقة وسيادة المناطق المنخفضة جيومورفولوجيا والتي تتطلب تقليل المسافات ما بين المبازل للسيطرة على خطورة ارتفاع منسوب الماء الارضي وتأثيره السلبي على المحاصيل المزروعة

2. عمق الماء الارضي

من خلال نتائج جدول 3 يتبيّن بان اعمق الماء الارضي في منطقة الدراسة قد تراوحت بين 1.08 الى 2.24 م ، ويوضح شكل 4 توزيع اعمق الماء الارضي في المنطقة، وحسب التحليل الكارتوكافي للخريطة الخاصة بهذا المؤشر الهيدرولوجي (الجدول،4). اتضح بان السيادة كانت للعمق (1.50 - 1.75 م) وبنسبة بلغت (%) 34.81، بينما سجل العمق (>1.25 م) وبنسبة (%) 24.55 ، بينما سجل العمق (1.75 - 2.00 م) اقل نسبة من مساحة المنطقة بلغت (%) 9.20. وان سبب هذا التباين في عمق الماء الارضي يعود بالدرجة الاولى الى الموقع الفيزيوغرافي لموقع الفحص اضافة الى التأثير الواضح لبحر النجف في قيم هذا المؤشر الهيدرولوجي. وقد جاءت نتائج قياسات اعمق الماء الارضي متواقة مع ما لاحظه Katie and Majid (2013) عند دراستهم لبعض الترب الجافة في محافظة النجف. وان دراسة التحليل الاحصائي لعمق الماء الارضي بتغيير الموقع الفيزيوغرافي قد اظهر وجود فروق عالية المعنوية بين الوحدات الفيزيوغرافية وكما موضح في شكل 5 ، اذ اظهرت الوحدة الفيزيوغرافية RL اعلى معدل عمق للماء الارضي بلغ 2.08 م في حين ان اقل عمق للماء الارضي كان عند الوحدة الفيزيوغرافية SD بلغ 1.33 م مما

يشير الى تأثير المنظور الارضي والموقع الفيزيوغرافي في هذه الصفة.

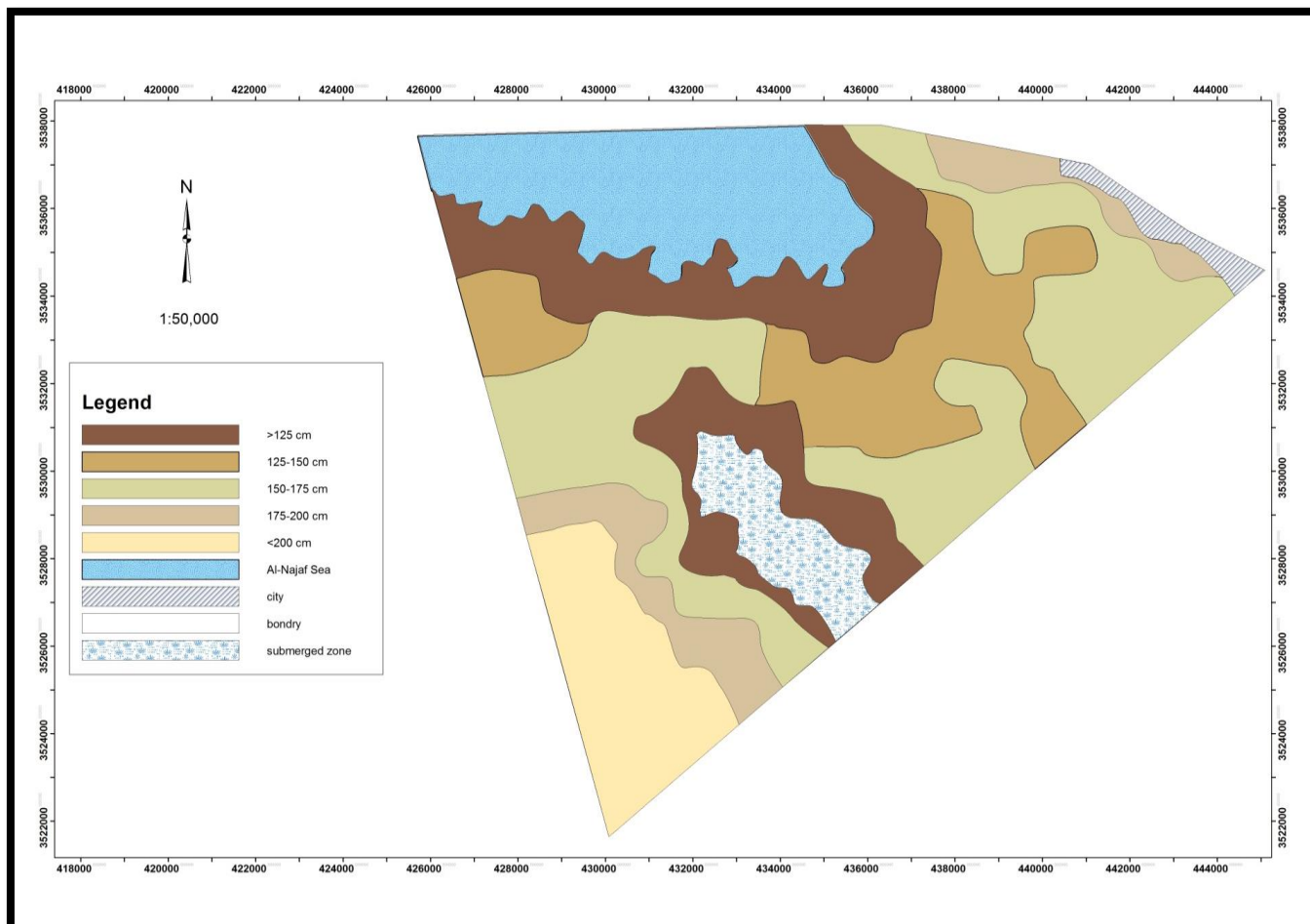
3. احتساب المسافات بين المبازل



شكل 3. معدل قيم نفاذية التربة للماء ضمن الوحدات الفيزيوغرافية المشخصة في منطقة الدراسة.

جدول 4. التحليل الكارتوكافي لخريطة توزيع اعماق الماء الارضي في المنطقة.

اعماق مستوى الماء الارضي (م)	المساحة بالهكتار	نسبة ما تشغله من منطقة الدراسة %
<1.25	3326.94	24.55
1.25-1.50	2626.02	19.38
1.50-1.75	4716.55	34.81
1.75-2.00	1247.15	9.20
>2.00	1633.34	12.05

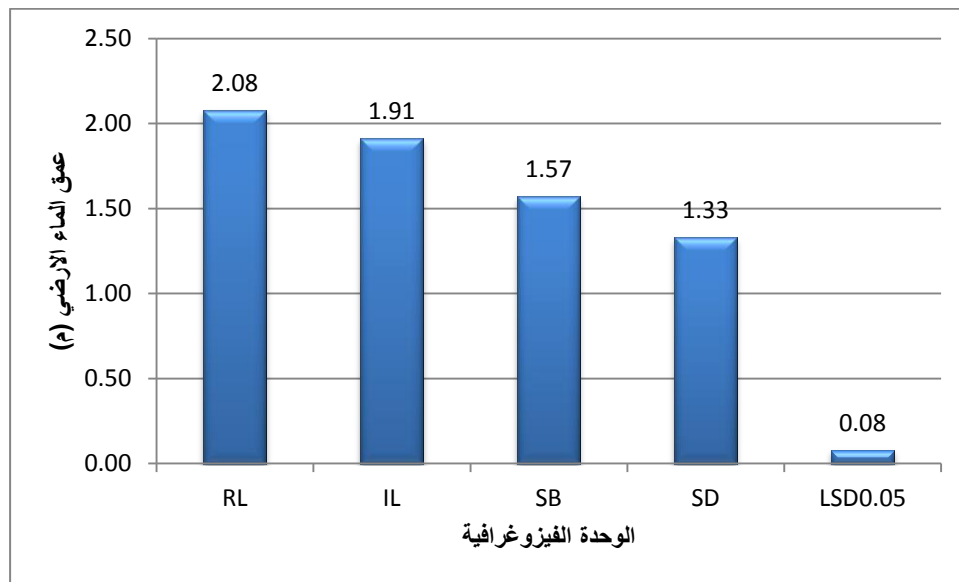


شكل 4 توزيع اعماق الماء الارضي ضمن منطقة الدراسة.

الجدول (5) قيم المسافات ما بين المبازل الحقلية المحسوبة (م) الوحدات الفيزيوغرافية المشخصة في المنطقة

Physiography unit	Augar No.	DS	Physiography unit	Augar No.	DS
RL	37	94	SB	71	71
	38	101		72	70
	39	105		73	72
	40	102		75	72
	41	98		76	69
	42	90		77	68
	50	79		78	69
	51	59		79	69
	90	100		80	63
	91	111		81	48
	92	132		82	47
	93	140		83	57
	26	116		84	99
	31	114		85	106
IL	32	107		86	105
	35	91		87	78
	36	92		88	85
	8	93	SD	94	115
	9	114		1	78
SB	15	95		2	75
	16	92		3	75
	17	93		4	69
	19	100		5	85
	20	105		6	78
	21	100		7	107
	22	102		10	113
	23	113		11	115
	24	123		12	119
	25	124		13	119
	27	89		14	108
	28	93		18	98
	29	101		46	92
	30	109		47	89
	33	106		48	91
	34	96		49	86
	43	80		52	69
	44	82		53	77
	45	92		54	74
	55	68		56	71
	57	81		63	82
	58	91		64	63
	59	93		65	63
	60	98		66	63
	61	100		67	67
	62	96		70	68
	68	64		74	71
	69	69		89	96

• DS = المسافة بين المبازل(متر)



شكل 5. معدل قيم الماء الارضي ضمن الوحدات الفيزيوغرافية المشخصة في منطقة الدراسة.

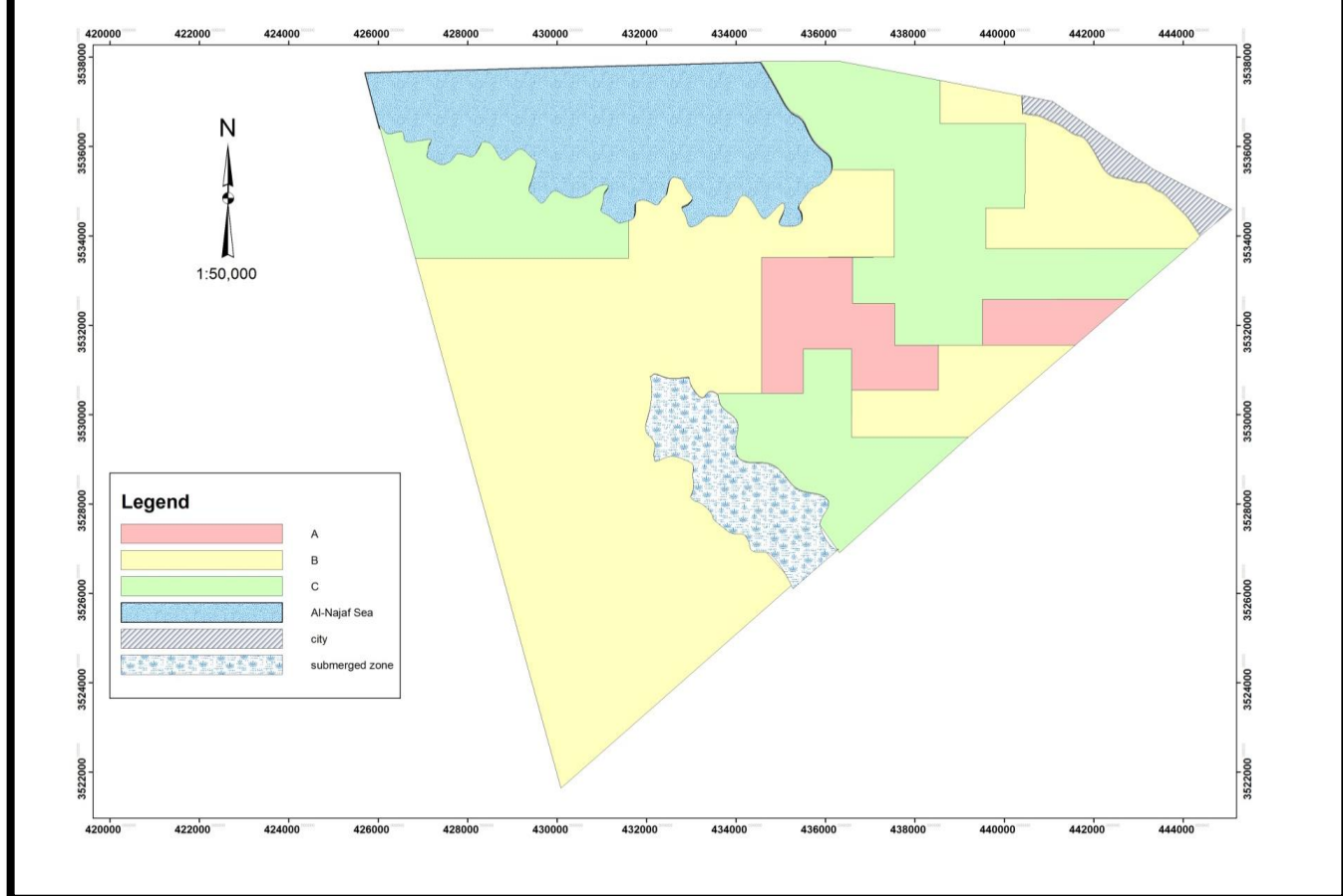
الجدول (6) اصناف المسافات ما بين المبازل ونسبة ما تشغله من منطقة الدراسة.

الصنف	المسافة بين مبازلين(م)	المساحة بالهكتار	نسبة ما تشغله من منطقة الدراسة(%)
A	100	4335.63	7.86
B	75	8149.16	60.14
C	50	1065.21	32.00

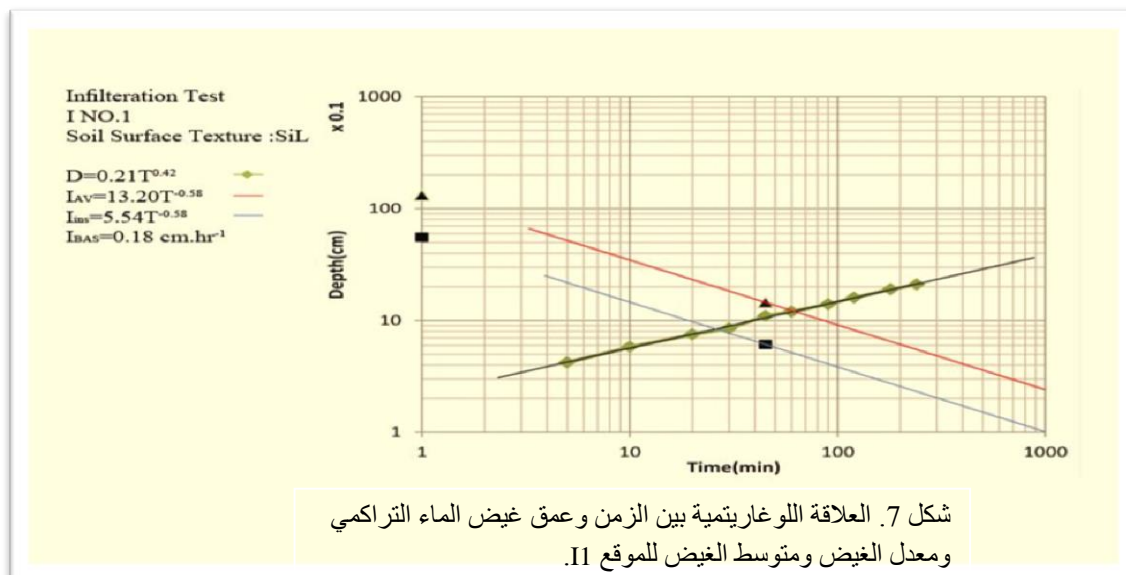
إلى المتوسطة السريعة. إذ سجل اقل قيمة لسرعة الغيض 0.18 سم.ساعة⁻¹ عند I1، بينما اعلى قيمة المسجل في قيم هذه الصفة الهيدرولوجية تعود بالأساس الى تغير نسجة الطبقة السطحية.

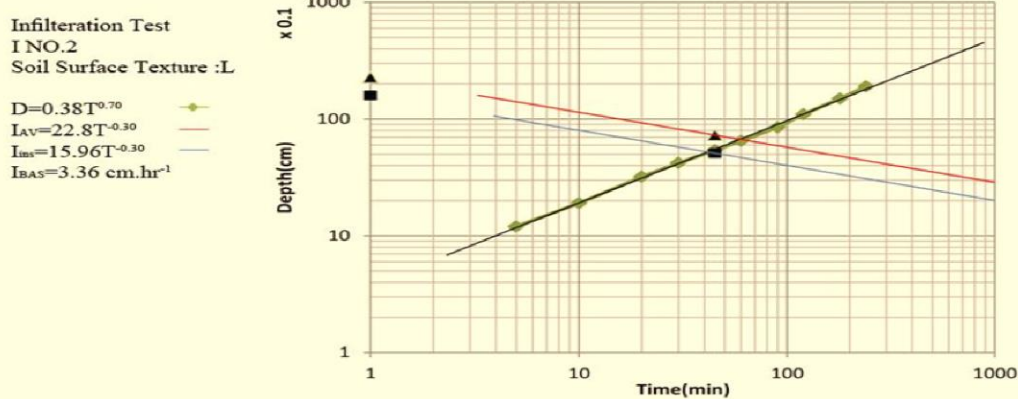
4. سرعة غيض الماء
ان رسم العلاقة بين الزمن وعمق غيض الماء في التربة للموقع المنتخبة حسب المجاميع تحت العظمى المصنفة في المنطقة (الاشكال، 7-12) إذ تراوحت بين 0.18 - 8.50 سم.ساعة⁻¹، وتصنيفياً وفق جدول 2 كانت بين الصنف البطيئة السرعة جدول 7. سرعة غيض الماء الاساس واصنافها للموقع المنتخبة للقياس .

I No.	Sub great group	Basic Inf. Rate cm.hr ⁻¹ .	Class	Texture of surface soil
I1	Typic Hapiogypsids	0.18	Slow	SiL
I2	Leptic Haplogypsids	3.36	Moderate	L
I3	Typic Calcigypsids	0.19	Slow	SCL
I4	Typic Torrifluvent	0.81	Moderately Slow	SiL
I5	Gypsi Aquisalids	0.83	Moderately Slow	SiCL
I6	Typic Aquisalids	8.50	Moderately rapid	S

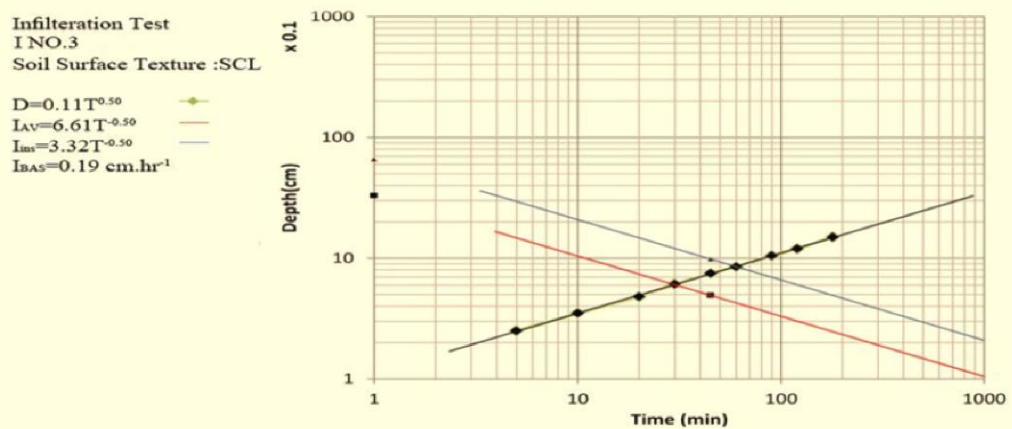


شكل 6. توزيع اصناف المسافات ما بين المبازل ضمن منطقة الدراسة.

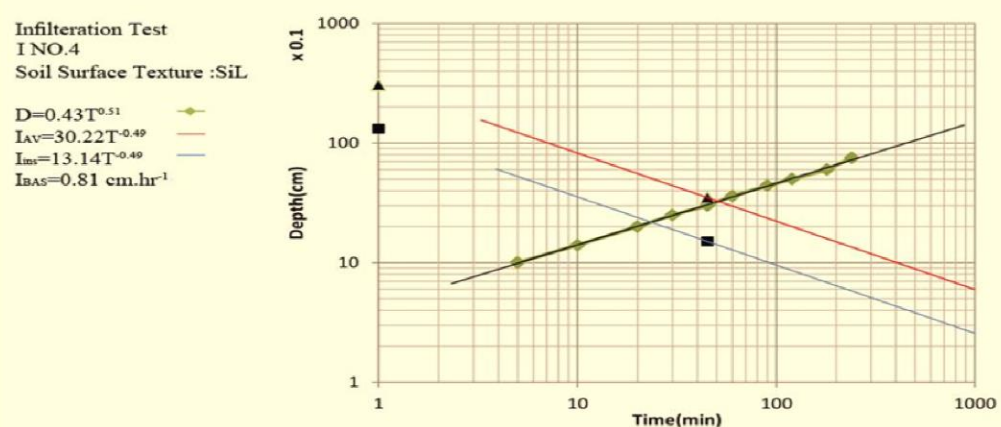




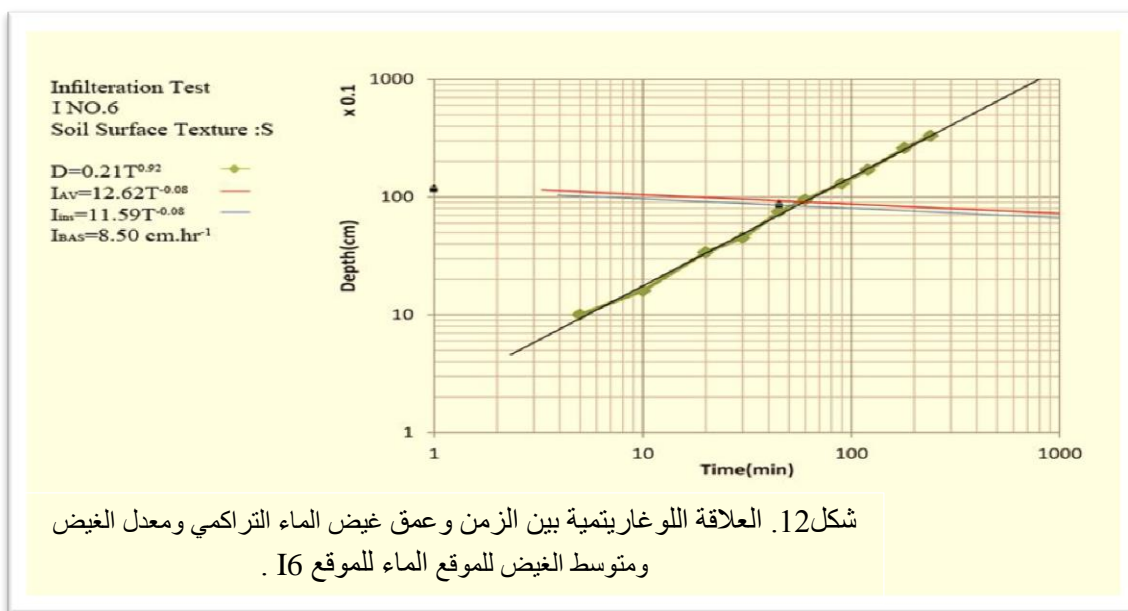
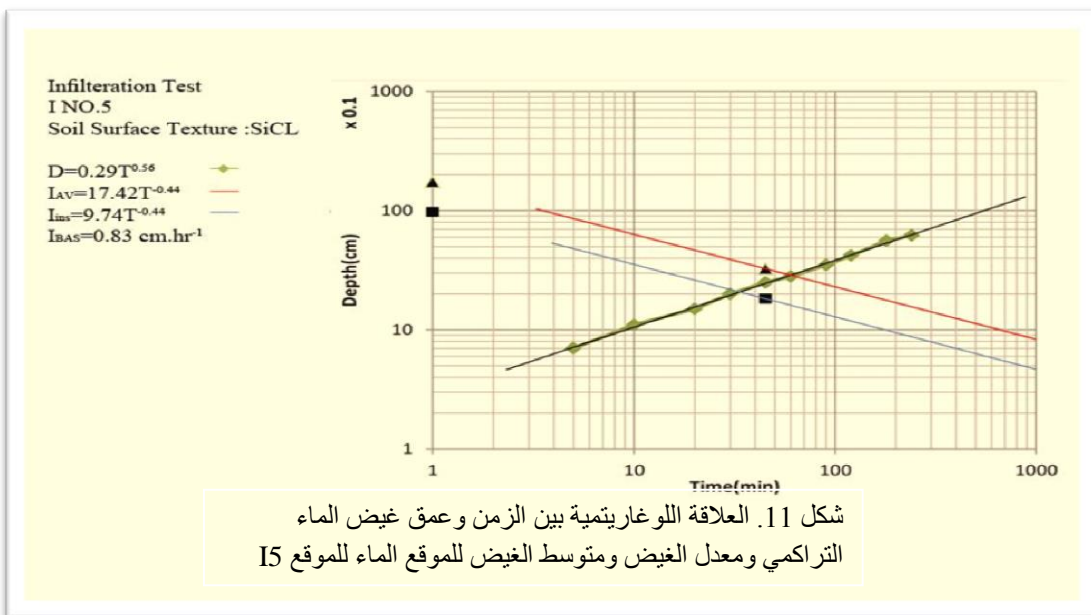
شكل 8. العلاقة اللوغاريتمية بين الزمن وعمق غيض الماء التراكمي ومعدل الغيض ومتوسط الغيض للموقع الماء للموقع I2



شكل 9. العلاقة اللوغاريتمية بين الزمن وعمق غيض الماء التراكمي ومعدل الغيض ومتوسط الغرض للموقع الماء للموقع I3



شكل 10. العلاقة اللوغاريتمية بين الزمن وعمق غيض الماء التراكمي ومعدل الغرض ومتوسط الغرض للموقع الماء للموقع I4



Bittelli, M., G. S. Campbell and F. Tomei,
2015. Soil Physics with Python:
Transport in the Soil-Plant-
Atmosphere System 1st
Edition, Kindle Edition. Oxford, 212p.

Deck, J. H., 2010. Hydraulic conductivity,
infiltration, and runoff from No-Till
and Tilled cropland. Ms.c. Thesis.
*College of Agriculture - University of
Nebraska.*

Elias, R. M. and H. K. Aziz, 2011. Soil Survey
and Hydrological Investigation of
Ghadari Project (Phase III) - Anbar
Governorate. *Ministry of Water
Resources - National Center for Water
Resource Management (Department of
Environmental Studies).*

المصادر

Al-Muzaffar, M. A., 2017. Najaf Sea originated
with its historical characteristics, its
importance. The Internet
dalmothafar@gmail.com.

Aziz, H. K., A. N. Mohammed, S. A. Mohammed,
N. Jassem and M. Hamid, 1994. Shatt
Al Arab Project. *Ministry of Irrigation
- Research Center for Water
Resources and Soil (Soil Investigation
Department).*

Bertrand, A.R., 1965. Rate of water intake in the
field. In: Method of soil analysis.
(Ed.C.A.Black). *Am.Soc.Agr.Monogr.9*
, Part I, Ch. 12, 197-209.

- Center for Water Resources Management Environmental Studies Department /Soil Survey & Hydrological Investigation Section.*
- S.O.L.R.,** 1982. Specification for soil surveys and Hydrological investigations in Iraq. *General Establishment for design and Research. Selma Press, Baghdad, Iraq.*
- Thabit,** J. M., A. I. Al-Yasi, and A.N. Al-Shemmar, 2014. Estimation of hydraulic parameters and porosity from geoelectrical properties for fractured rock aquifer in middle dammam formation at bahr Al-Najaf basin, Iraq. *Iraqi Bulletin of Geology and Mining Vol.10, No.2, p 41 – 57. Papers of the Scientific Geological Conference Part 1.*
- Van Beers ,** W.F.J., 1970. The auger hole method . Bull . No.1, *International Inst .for Land Reclamation and Improvement , Wageningen , P.32.*
- Zaidan,** Ahammed and Khalil Ibrahim Majeed, 2011. Hydrological characteristics of soil immortality project - Maysan province. Ministry of Water Resources - National Center for Water Resources Management - Department of Environmental Studies.
- Jafar, M. H.,** 2013. Project Shatt al-Arab and West Qurna. *Ministry of Water Resources - National Center for Water Resource Management (Department of Environmental Studies).*
- Khalaf, R. M. and W. H. Hassan,** 2016. Estimation the hydrogeological characteristics of Al-Dammam confined aquifer in the west and southwest of Karbala city, Iraq. *Journal of Babylon University, Engineering Sciences, Vol.22, No.1: 201-217.*
- Katie, H. H. and K. I. Majid,** 2013. Soil survey and hydrological investigation project Fadak Farm (the holy upper threshold) Najaf Al Ashraf. *Ministry of Water Resources – Center National Water Resource Management - Department of Environmental Studies.*
- Majid, K. I. and H. H. Falah** (2014). Project of Ayman Al-Kamaliyya / Re-Husseiniya - Karbala Holy Province. *Ministry of Water Resources - National Center for Water Resources Management - Department of Environmental Studies.*
- Naser, B. T.,** 2016. Semi Detail Soil Survey and Hydrological Investigation of Shanafiya - Nasiriya Irrigation Project. *Ministry of Water Resources .National*